

شناسایی مورفولوژیکی و مولکولی *Peyronellaea glomerata* عامل لکه برگی پیچک صحرایی در استان کردستان

Morphological and Molecular Identification of *Peyronellaea glomerata* as Causal Agent of Leaf Spot of Field Bindweed in Kurdistan Province

شیما باقرآبادی^۱، دوستمراد ظفری^{*۲}، محمدجواد سلیمانی^۳ و فاطمه قبادی‌انور^۳

تاریخ پذیرش: ۹۳/۱۲/۱۷

تاریخ دریافت: ۹۳/۰۹/۰۶

چکیده

طی پاییز سال ۱۳۹۲ از مزارع توت‌فرنگی در مناطق مختلف استان کردستان بازدید به عمل آمد. در اکثر مزارع، علف‌هرز پیچک صحرایی با علائم لکه برگی مشاهده و جمع‌آوری شد. بافت‌های دارای علائم پس از ضدغونی سطحی با هیپوکلریت‌سدیم ۰/۵ درصد روی محیط کشت PDA (سیب‌زمینی، دکستروز، آگار) کشت داده شد. پس از هفت روز انکوباسیون در دمای ۲۳-۲۵ درجه سانتی‌گراد، پرگنه قارچ از قطعات کشت داده شده جدا و خالص‌سازی گردید. در مجموع ۲۱ جدایه قارچی واحد پیکنیدیوم به دست آمد که از نظر مورفولوژیکی کاملاً شبیه بودند. یکی از جدایه‌ها، به عنوان نماینده مورد بررسی مولکولی قرار گرفت و نواحی ITS1، ITS2 و ژن ۵.۸s تعیین توالی شد. در نهایت، براساس نتایج بررسی‌های مورفولوژیکی و مولکولی قارچ عامل لکه برگی پیچک صحرایی، *Peyronellaea glomerata* تشخیص داده شد. این اولین گزارش از *P. glomerata* به عنوان عامل لکه برگی روی پیچک صحرایی می‌باشد. بنابراین در صورتی که این قارچ روی گیاهان زراعی منطقه بیماری‌زایی نداشته باشد، میتواند به عنوان عامل بیوکنترل در مبارزه تلفیقی با پیچک صحرایی مورد استفاده قرار گیرد.

واژه‌های کلیدی: پیچک صحرایی، بیوکنترل علف‌هرز، توالی نواحی ITS، استان کردستان

۱. دانش‌آموخته کارشناسی ارشد بیماری‌شناسی گیاهی، دانشکده کشاورزی، دانشگاه بوعلی سینا، همدان

۲. دانشیاران گروه گیاه‌پزشکی، دانشکده کشاورزی، دانشگاه بوعلی سینا، همدان

۳. دانشجوی کارشناسی ارشد بیماری‌شناسی گیاهی، دانشکده کشاورزی، پردیس دانشگاه لرستان، خرم‌آباد

Email: zafari_d@yahoo.com *نویسنده مسؤول

مقدمه

حدود سی هزار گونه گیاهی به عنوان علف‌هرز شناخته شده‌اند، که ۳۰۰ گونه از آنها بیشترین اختلال را در محصولات کشاورزی ایجاد می‌نمایند و گسترش جهانی دارند بهنحوی که در کشورهای توسعه یافته حداقل ۱۰ تا ۱۵ درصد از کل خسارات سالانه ناشی از عوامل مختلف به محصولات کشاورزی، مربوط به علف‌های هرز است و این میزان در کشورهای در حال توسعه و مناطق استوایی بیشتر است در این بین، ۱۸ گونه از این علف‌های هرز متداول‌تر از سایر گونه‌ها هستند که گیاه پیچک نیز یکی از آنها می‌باشد. پیچک صحرایی با نام علمی *Convolvulus arvensis* متعلق به تیره پیچک *Covolvulaceae* می‌باشد. گیاهان این تیره، بالارونده و یا بوته‌ای بوده و دارای شیرابه‌ای شیری رنگ هستند. برگ‌های آنها متناوب، ساده و بدون گوشواره است. گیاهان این تیره در ایران انتشار وسیعی دارند و گونه‌های علف‌هرز آن بیشتر از جنس *Convolvulus* هستند. این علف‌هرز چند ساله مخرب دارای گسترش جهانی بوده که در بسیاری از گیاهان زراعی و با غی مشکلات فراوانی را ایجاد می‌نماید و به تنها یی می‌تواند عملکرد محصول را ۶۰ تا ۵۰ درصد کاهش دهد. (Anonymous) قارچ‌های سلومیست از نظر جغرافیایی دارای پراکندگی وسیعی هستند، به طوری که در نیچه‌های اکولوژیکی متنوع یافت می‌شوند گرو (Grov, 1935). تعداد زیادی از آنها ساپروفیت و برخی بیمارگر ثانویه بر روی گیاهان مختلف هستند ساتون (Sutton, 1980). *Phoma* یکی از متنوع‌ترین جنس‌های سلومیستی متنوع است که اغلب به صورت عوامل لکه برگی یا لکه روی ساقه گیاهان مختلف دیده می‌شود ژانگ و همکاران (Zhang et al., 2009) تاکنون گونه‌های مختلفی از این جنس روی علف‌های هرز در دنیا گزارش شده است.

جنس *Peyronellaea* جنس جدیدی است که شامل گونه‌هایی است که در ابتدا در جنس *Phoma* بورما و همکاران (Boerema et al., 2004) و گونه‌های مرتبط با آن که در جنس‌های *Pleosporalean* قرار داشتند. براساس مطالعات مورفولوژیکی، *Peyronellaea* به عنوان یکی از نه بخش (Section) جنس *Phoma* در نظر گرفته شده و ویژگی مشخص آن ساختار کلامیدوسپوری چندسلولی است (بورما و همکاران، 2004). با این حال طبقه‌بندی مورفولوژیکی مبهم، مصنوعی و وقت‌گیر بوده و شناسایی را برای محققین و بیماری شناسان گیاهی مشکل می‌سازد به همین دلیل نیاز به تجربه و مهارت بالا دارد اوسکمپ و همکاران (Aveskamp et al., 2010). بتایراین طبقه‌بندی جنس *Phoma* و گونه‌های مشابه آن هنوز ادامه

مواد و روش‌ها

در پاییز ۱۳۹۲، از مزارع توت‌فرنگی در مناطق مختلف استان کردستان بازدید به عمل آمد. در اکثر مزارع، علف‌هرز پیچک صحرایی با علائم لکه برگی مشاهده و جمع‌آوری شد. از بخش‌های دارای علائم، توسط اسکالپل از حفاظات بافت آلوده و سالم قطعات نیم تا یک سانتی‌متری جدا شد و توسط محلول واکتس ۱۰ درصد (معادل نیم درصد هیپوکلریت‌سدیم) به مدت یک تا دو دقیقه ضدغوفونی سطحی شدند و بلافاصله دوبار با آب مقطر سترون شستشو داده شدند. این قطعات روی کاغذ صافی سترون آب‌گیری و به پتری‌دیش‌های حاوی محیط‌کشت PDA (سیب‌زمینی، دکستروز، آگار) انتقال داده شدند. پتری‌دیش‌ها در انکوباتور با دمای ۲۳-۲۵ درجه سانتی-گراد به مدت پنج تا هفت روز نگهداری شدند. جدایه‌ها توسط روش‌های استاندارد نوک ریسه و تک اسپور خالص‌سازی شدند و سپس به لوله‌های حاوی محیط‌کشت PCA جهت بررسی ویژگی‌های شناسایی‌های بعدی انتقال داده شدند. جهت بررسی ویژگی‌های مورفولوژیکی حلقه‌هایی به قطر پنج میلی‌متر از حاشیه در حال رشد پرگنه‌های مربوط به هر جدایه برداشته شد و به پتری‌دیش‌های حاوی محیط‌کشت PCA (سیب‌زمینی، هویج، آگار) انتقال داده شد. این پتری‌دیش‌ها در دمای ۲۳ تا ۲۵ درجه سانتی‌گراد تحت نور فلورسنت با چرخه نوری ۸ ساعت روشنایی و ۱۶ ساعت تاریکی نگهداری و پس از پنج تا هفت روز مورد بررسی قرار گرفتند. همچنین ویژگی‌های روز میکرو‌سکوپ مدل لایکا مورد بررسی و اندازه‌گیری قرار گرفت. مورفولوژیکی جدایه‌ها روی محیط‌های OA و MEA بررسی گرفت. پس از گذشت ۷ روز، خصوصیات و اندازه پیکنیدیوم، کلامیدوسپور و کنیدیوم‌ها با استفاده از میکروسکوپ مدل لایکا مورد بررسی و اندازه‌گیری قرار گرفت. براساس ویژگی‌های پرگنه و شکل پیکنیدیوم‌ها، کلامیدوسپورها و کنیدیوم‌ها و با کمک منابع علمی معتبر (اوسمکمپ و همکاران، 2010؛ بورما و همکاران، 2004) شناسایی صورت گرفت. از جدایه‌ای که مورد بررسی مولکولی قرار گرفت سوسپانسیون اسپور تهیه شد و آزمایش اثبات بیماری‌زایی با اسپورپاشی روی بوته‌های کاملاً توسعه یافته پیچک صحرایی انجام شد. برای بوته‌های شاهد از آب مقطر استریل استفاده شد.

کلاف DNA تشکیل شد که به آسانی قابل مشاهده بود. لوله محتوی به مدت ۱۰ دقیقه در ۷۰۰۰ دور در دقیقه در دمای ۴۰°C سانتریفیوژ شد تا DNA در قسمت پایین لوله رسوب کند. مایع بالایی رسوب DNA به آرامی خالی شد به طوری که DNA داخل لوله دستنخورده باقی بماند. به لوله محتوی ۵۰۰ میکرولیتر اتانول ۷۰ درصد افزوده شد و مدت ۵ دقیقه با سرعت ۱۳۰۰ دور در دقیقه در دمای ۴۰°C سانتریفیوژ گردید. سپس فاز رویی دور ریخته شد و لوله در مجاورت هوا به صورت وارونه روی کاغذ جاذب رطوبت قرار گرفت. پس از این مرحله به لوله ۵۰ میکرولیتر آب مقطر دو بار سترون افزوده شد. نمونه به مدت یک شب در یخچال نگهداری شد تا توده DNA در آب مقطر حل شود. برای مشاهده استخراج شده از ژل آگاراز ۱/۲ درصد در بافر TBE استفاده شد و مقدار ۵ میکرولیتر DNA با دو میکرولیتر بافر بارگذاری مخلوط و به مدت ۱/۵ ساعت با ولتاژ ثابت ۸۰ ولت الکتروفورز شد. تعیین کمیت و کیفیت DNA استخراج شده با روش اسپکتروفوتومتری و الکتروفورز ژل آگاراز تعیین شد.

تنظیم شرایط واکنش زنجیره‌ای پلیمراز (PCR):

واکنش زنجیره‌ای پلیمراز با استفاده از دو آغازگر ITS4 و ITS1 جهت تکثیر نواحی ITS1، ITS2 و ژن 5.8S انجام گرفت. نام و توالی آغازگرهای اختصاصی استفاده شده در جدول ۱ آمده است.

جدول ۱: نام و توالی آغازگرهای اختصاصی مورد استفاده جهت تکثیر نواحی ITS1، ITS2 و ژن 5.8S

Table 1: Name and sequence of primers used to amplify ITS1, ITS2 and 5.8S regions

نام آغازگر Primer	توالی Sequence
ITS1	5'-TCCGTAGGTGAACCTGCGG-3'
ITS4	5'-TCCTCCGCTTATTGATATGC-3'

میکروتیوب‌های حاوی DNA و آغازگر اضافه گردید. از دستگاه ترموسایکلر شرکت Techn مدل TC-512 جهت تکثیر استفاده گردید. مطابق برنامه داده شده به دستگاه، واکنش زنجیره‌ای پلیمراز با استفاده از آغازگرهای براساس شرایط جدول ۳ انجام گردید.

الکتروفورز محصول PCR

برای الکتروفورز هریک از نمونه‌ها، پنج میکرولیتر از محصول PCR اولیه برداشته شد و پس از اختلاط با دو میکرولیتر بافر

بررسی‌های مولکولی

به منظور شناسایی دقیق جدایه‌ها در سطح گونه، یک جدایه برای انجام بررسی‌های مولکولی انتخاب گردید.

استخراج DNA

استخراج DNA با روش تغییر یافته شارما و همکاران، (Sharma *et al.*, 2002) انجام شد. مقدار میسیلیوم منجمد شده در یک هاون چینی که از قبل در فریزر سرد شده بود، ریخته شد و به کمک نیتروژن مایع پودر شد و میزان ۲۰۰ میلی‌گرم از آن به لوله ۱۵۰۰ میکرولیتری منتقل شد. مقدار ۷۵۰ میکرولیتر از بافر استخراج نگهداری شده در حمام آب گرم ۶۰°C (۲% PVP-40, pH=8.0 EDTA 20mM, CTAB ۵% و ۰/۰۲ NaCl ۱/۴M, (W/V) Tris-HCl pH=8.0 100mM مرکاپتواتانول) به نمونه اضافه و مخلوط گردید و به مدت ۳۵ دقیقه در حمام آب گرم ۶۰°C قرار گرفت و در این مدت محتويات لوله چندین مرتبه به آرامی مخلوط شد. معادل هم حجم از مخلوط کلروفرم-ایزوآمیل (کل ۱:۲۴) به لوله محتوی نمونه اضافه شد و به آرامی با برگرداندن به مدت یک دقیقه مخلوط گردید. پس از اختلاط کامل به مدت ۱۵ دقیقه با سرعت ۷۰۰۰ دور در دقیقه سانتریفیوژ شد. مایع فوقانی برداشته و درون لوله سترون جدیدی ریخته شد. به اندازه یک سی‌ام حجم آن، استاتس‌سدیم ۳ مولار اسیدیته ۵/۲ و ۰/۱۶ حجم، محلول ایزوپروپانول سرد به آن اضافه گردید و چند مرتبه محلول داخل لوله به آرامی مخلوط گردید. در این مرحله

در زمان اجرای آزمایش‌ها، برای جلوگیری از بروز خطای زمان، برداشتن مقداری بسیار کم مواد و نیز برای راحتی و سرعت عمل بیشتر، محلول پایه واکنش‌های PCR طبق جدول ۲ تهیه شد. محلول پایه شامل همه مواد موردنیاز برای انجام واکنش PCR به جز DNA نمونه و آغازگرهای بود.

ابتدا دو میکرولیتر DNA مربوط به نمونه در داخل میکروتیوب مخصوص PCR ریخته، سپس دو میکرولیتر از آغازگرهای (با غلظت $\mu\text{mol}/\mu\text{l}$) به آن اضافه گردید و بلا فاصله ۲۱ میکرولیتر از محلول پایه تهیه شده و به هریک از

این تحقیق با توالی جدایه‌های موجود در بانک ژن از طریق بلاست مقایسه شد. پس از بررسی اولیه، توالی این جدایه با توالی تعدادی از جدایه‌های گرفته شده از بانک ژن و همچنین توالی گونه *Julella avicennae* (outgroup) (جدول ۴) در نرمافزار Genedoc همردیف شدند و کلادوگرام آنها با نرمافزار Treecon به روش Neighbour joining با هزار Bootstrap رسم و تجزیه و تحلیل شد.

بارگذاری، روی محیط ژل آگارز ۱/۲ درصد در بافر TBE با ولتاژ ثابت ۸۰ ولت الکتروفورز شد. پس از حدود ۲/۵ ساعت جریان برق قطع شده و ژل برای رنگآمیزی ۳۰ ۴۵ دقیقه در محلول اتیدیوم بروماید (۰/۵ میلیگرم در میلیلیتر) قرار گرفت. پس از شستشوی ژل با آب مقطر، عکسبرداری از ژل با دستگاه ژل داکیومنت مدل DIGI.DOC H101 انجام گرفت. نواحی ITS1 و ژن ۵.۸S پس از تکثیر به منظور تعیین توالی، به کشور کرهجنوبی فرستاده شد و نتایج تعیین توالی با فرمت فستا دریافت شد. شباهت توالی جدایه مورد بررسی در

جدول ۲: مواد لازم و مقادیر موردنیاز برای تهیه محلول پایه PCR اختصاصی

Table 2: Materials and their amount for preparation of master mix in specific PCR

برای یک واکنش Amount for one reaction	غلفتنهایی Working dilution	غلفت پایه Stock dilution	ماده Material
16.25µl	-	-	آب دوبار تنفسیر سترون Distilled Water
2.5µl	1 X	10 X	بافر Buffer PCR
1µl	3.2 mM	50 mM	کلریدمنیزیم MgCl ₂
0.75µl	0.6 mM	10 mM	دی. ان. تی. بی DNTPAS
0.5µl	1 Unit	5 Unit/µl	آنزیم <i>Taq</i> DNA پلیمراز <i>Taq</i> DNA polymerase
21µl	-	-	حجمنهایی Total volume

جدول ۳: زمان و دمای لازم جهت انجام مراحل مختلف PCR

Table 3: PCR protocol

درجه حرارت (°C) Temperature	زمان Time	مرحله انجام شده Step	تعداد چرخه Number of cycle
94	5 min	واسرشت اولیه Initial denaturation	۱ چرخه 1 cycle
94	1 min	واسرشت Denaturation	
54	75 s	اتصال Annealing	۳۵ چرخه 35 cycle
72	2 min	گسترش Extension	
72	10 min	گسترشنهایی Final extension	۱ چرخه 1 cycle

جدول ۴: مشخصات جدایه‌های گرفته شده از بانک ژن و جدایه مورد بررسی در این تحقیق جهت رسم کلادوگرام

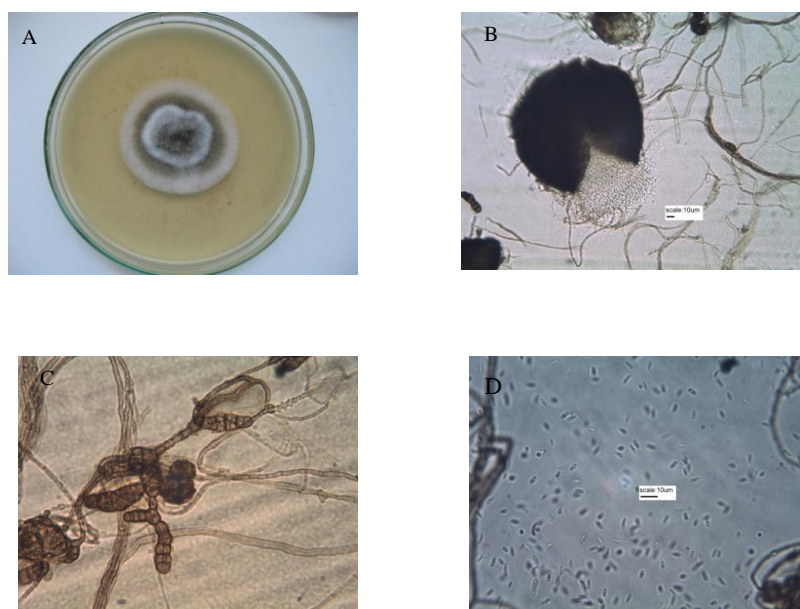
Table 4: Accession number of fungal isolates used in this study

نام گونه Species	شماره دسترسی بانک ژن Accession number
<i>Peyronellaea glomerata</i>	208879729
<i>Peyronellaea glomerata</i>	208879730
<i>Peyronellaea glomerata</i>	208879737
<i>Peyronellaea glomerata</i>	208879631
<i>Peyronellaea glomerata</i>	289188405
<i>Peyronellaea glomerata</i>	262034988
<i>Peyronellaea glomerata</i>	307239064
<i>Peyronellaea glomerata</i>	KM014745(Iran)
<i>Phoma glomerata</i>	190402613
<i>Julella avicenniae</i>	284799283(Outgroup)

تحقیق در سایت مرکز ملی بیوتکنولوژی بلاست شد. نتایج بلاست نشان داد که اکثر توالی‌های شبیه به توالی مورد بررسی در این تحقیق گونه‌های جنس *Phoma* و جنس بسیار نزدیک به آن *Peyronellaea* می‌باشد. بنابراین توالی تعدادی از جدایه‌های بسیار نزدیک از بانک ژن دریافت شد (جدول ۴). براساس بررسی منابع و مقایسه بلاست گونه *Julella avicenniae* strain BCC به عنوان Outgroup انتخاب شد و با استفاده از نرم‌افزار Treecon Gendoc هم‌دیف شدند و با استفاده از نرم‌افزار Drift فیلوجنیتکی رسم شد (شکل ۲). همان‌طور که در درخت رسم شده مشاهده می‌شود جدایه مورد بررسی در این تحقیق با جدایه *Peyronellaea glomerata* با شماره دسترسی 307239064 Bootstrap با ۰.۳۰۷ در یک کلاد قرار گرفته‌اند. بنابراین براساس ویژگی‌های مورفولوژیکی و مولکولی جدایه‌های *glomerata* قارچی به دست آمده از لکه برگی پیچک صحرایی *P. glomerata* تشخیص داده شدند. در آزمایش اثبات بیماریزایی بعد از آلوود کردن مصنوعی بوته‌های پیچک صحرایی با اسپورهای این قارچ، علایمی شبیه لکه برگی‌های جمع‌آوری شده از مزارع *P. glomerata* ظاهر شد که از این لکه‌ها، مجدداً جداسازی شد. با بررسی منابع مختلف در دنیا گزارشی از وجود *P. glomerata* روی پیچک صحرایی مشاهده نشد. بنابراین برای اولین بار وجود و بیماریزا بودن *P. glomerata* بر روی پیچک صحرایی گزارش می‌شود. در صورتی که این قارچ در بین گیاهان زراعی منطقه، میزبانی نداشته باشد می‌تواند به عنوان عامل کنترل بیولوژیک در مبارزه تلفیقی با پیچک صحرایی که یکی از علف‌های هرز مهم می‌باشد به کار گرفته شود.

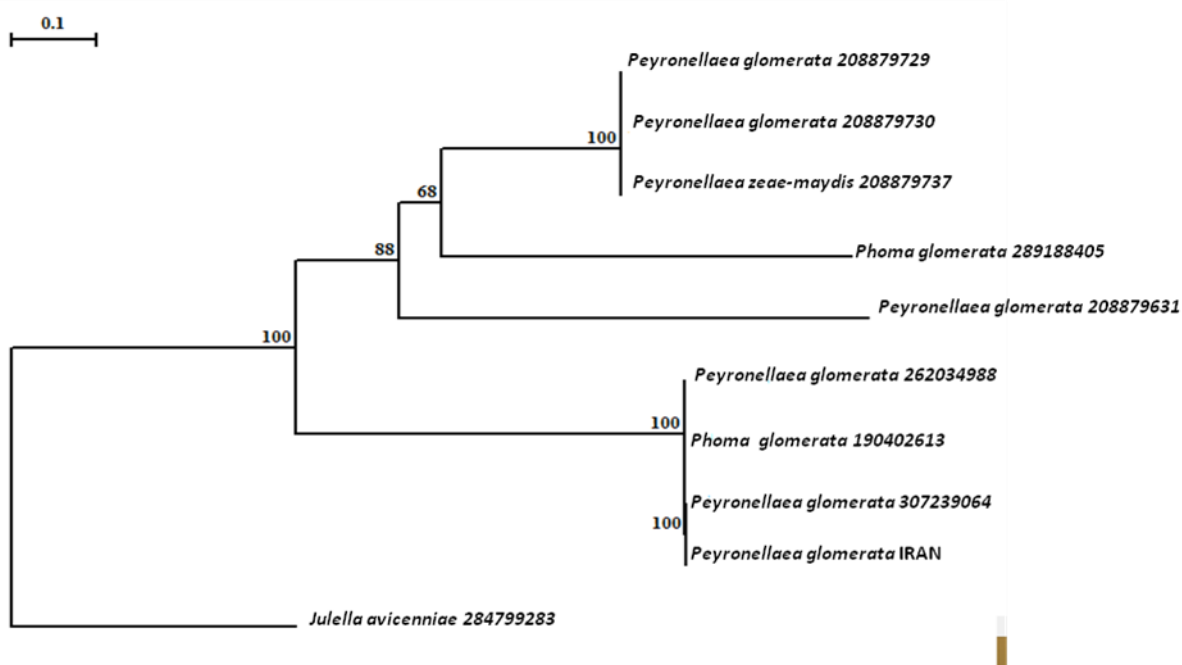
نتایج و بحث

از نمونه‌های پیچک صحرایی دارای لکه برگی، به عنوان یکی از علف‌های هرز مهم مزارع توت‌فرنگی در استان کردستان در مجموع ۲۱ جدایه قارچی جدا شد. سرعت رشد پرگنه جدایه‌های به دست آمده روی محیط OA، MEA و PCA سریع و تقریباً یکسان بود و در ظرف سه روز سطح پتری دیش‌های نه سانتی‌متری متغیر بود (شکل ۱ الف). پرگنه قارچ روی محیط PCA متراکم به حالت پشمی، به رنگ سبز زیتونی مایل به قهوه‌ای و براق بودند (شکل ۱ الف). پیکنیدیوم‌ها بعد از یک هفته روی پرگنه تشکیل شدند که در مرکز پرگنه به صورت دانه‌های سیاه رنگ قابل مشاهده بودند. پیکنیدیوم‌ها نیمه کروی تا گلابی شکل با یک گردن باریک و قطر آنها ۵۰ تا ۲۵۰ میکرومتر اندازه‌گیری شد (شکل ۱ ب). کلامیدوسپورها به صورت تکی و دسته‌ای به فراوانی تشکیل شدند (شکل ۱ ج). کنیدیوم‌ها در ۰-۵ میکرومتر و به اشکال متنوع، معمولاً مستطیلی، تخم مرغی و بیضوی و رنگ آنها شفاف بود (شکل ۱ د). براساس این ویژگی‌ها و با استفاده از کلیدهای شناسایی قارچ‌های ناقص Barnett and Hunter, (۱۹۸۰؛ ساتون، ۱۹۹۸؛ Sutton, 1980؛ ۱۹۹۸؛ Sutton, 1998) جدایه‌های به دست آمده به عنوان جنس *Phoma* شناسایی شدند. به منظور شناسایی دقیق تر و شناسایی در سطح گونه یکی از جدایه‌ها جهت بررسی مولکولی انتخاب شد. استخراج DNA انجام شد و نتیجه استخراج روی ژل آگاروز مشاهده شد. با استفاده از پرایمرهای ITS1 و ITS4 نواحی ITS2 و ژن 5.8s تکثیر شد که تولید یک قطعه حدود ۶۰۰ جفت بازی نمود. قطعه تکثیر شده تعیین توالی شد و توالی آن در بانک ژن ذخیره شد (Accession NO. KM014745). در بررسی‌های اولیه مولکولی توالی جدایه مورد بررسی در این



شکل ۱: a) پرگنه روی PCA پس از گذشت هفت روز b) پیکنیدیوم c) کلامیدوسپورها d) کنیدیومها

Fig. 1: *Peyronellaea glomerata* a) colony on PCA after 7 days b) pycnidium c) chlamydospore d) conidia



شکل ۲: درخت فیلوجنی گونه‌های مربوط به جنس *Peyronellaea* رسم شده با نرم‌افزار Treecon با هزار

Fig. 2: Phylogenetic tree of isolates of *Peyronellaea* genus used in this study by Treecon software with 1000 Bootstrap

جهت مطالعه منابع به صفحه ۲۶ متن انگلیسی مراجعه شود.

Morphological and Molecular Identification of *Peyronellaea glomerata* as Causal Agent of Leaf Spot of Field Bindweed in Kurdistan Province

Bagherabadi¹, S., Zafari^{2*}, D., Soleimani², M. J. and Ghobadi Anvar³, F.

Abstract

During the autumn of 1392 strawberry farms were inspected in the province of Kurdistan. In most fields, leaf spot symptoms of field bindweed were observed. Infected tissues surface sterilized with 5.0 percent sodium hypochlorite and were cultured on the medium PDA (potato, dextrose, agar). After seven days of incubation at 25-23°C, purification was done from edge of colonies in the manner of hyphal tip on water-agar medium. A total of 21 isolates possess pycnidium obtained that were morphologically similar. One of the isolates as representative was chosen and its ITS1, ITS2 and 5.8s gene was sequenced. Finally, based on the results of morphological and molecular studies the causal agent of leaf spot of field bindweed was diagnosed as *Peyronellaea glomerata*. This is the first report of *P. glomerata* leaf spot on field bindweed. This fungus can be used as biocontrol agents in the integrated control of field bindweed if does not able to disease other crop in Kurdistan area.

Keywords: Field bindweed, Weed biocontrol, Sequences of ITS regeans, Kurdistan province

References

- Anonymous. Weedy Wildflowers of Illinois. http://www.illinoiswildflowers.info/weeds/plants/field_bindweed.htm
- Aveskamp, MM., De Gruyter, J., Woudenberg, JH., Verkley, GJ. and Crous, PW. 2010. Highlights of the *Didymellaceae*: a polyphasic approach to characterise *Phoma* and related pleosporalean genera. Studies in Mycology, 65: 1-60.
- Aveskamp, MM., de Verkley, GJ., Gruyter, J., Murace, MA., Perelló, A., Woudenberg, JH., Groenewald, JZ. and Crous, PW. 2009. DNA phylogeny reveals polyphyly of *Phoma* section *Peyronellaea* and multiple taxonomic novelties. Mycologia, 101: 363-82.
- Barnett, HL. and Hunter, BB. 1998. Illustrated genera of imperfect fungi. 4th ed. USA: St Paul.
- Boerema, G. H., de Gruyter, J., Noordeloos, M. E. and Hamers, M. E. C. 2004. *Phoma* Identification Manual. Differentiation of Specific and Infra-specific Taxa in Culture. CABI publishing, Wallingford, UK, 479 pp.
- De Gruyter, J., Aveskamp, MM., Woudenberg, JH., Verkley, GJ., Groenewald, JZ. and Crous, PW. 2009. Molecular phylogeny of *Phoma* and allied anamorph genera: towards a reclassification of the *Phoma* complex. Mycological Research, 113(Pt 4): 508-19.
- De Gruyter, J., Noordeloos, M. E. and Boerema, G. H. 1998. Contributions towards a monograph of *Phoma* (Coelomycetes) I-3. section *Phoma*: Taxa with conidia longer than 7 m. Persoonia, 16(4): 471-490.
- Grov, W. B. 1935. British Stem and Leaf Fungi (Coelomycetes) Vol. 1 Sphaeropsidales. Cambridge University Press, Cambridge.
- Irinyi, L., Kövics, GJ. and Sándor, E. 2009. Taxonomical re-evaluation of *Phoma*-like soybean pathogenic fungi. Mycological Research, 113(Pt 2): 249-60.
- Sharma, AD., Prabhjot, KG. and Prabhjot, S. 2002. DNA isolation from dry and fresh samples of polysaccharide-rich plants. Plant Molecular Biology Reporter, 20 (4): 415a-415f.
- Sutton, B. C. 1980. The Coelomycetes. Fungi Imperfecti with Pycnidia, Acervuli and Stromata. CMI, Kew.
- Zhang, T. Y., Hou, T. J. and Zhao, G. Z. 2009. Taxonomic studies on 20 dictyosporic hyphomycete genera from China and molecular systematics of represented species of 5 allied genera. Flora Fungorum Sinicorum, 31: 62.

1. M.Sc. Graduate Student Plant Pathology, Department of plant protection, Faculty of Agriculture, Bu-Ali Sina University, Hamadan

2. Associate professors, Department of Plant Pathology, Faculty of Agriculture, Bu-Ali Sina University, Hamedan

3. M.Sc. Student Plant Protection, Department of plant protection, Faculty of Agriculture, Campus of Lorestan University, Khorramabad

*: Corresponding author Email: zafari_d@yahoo.com

- Zou, Z., Eibl, C. and Koop, H. U. 2003. The stem-loop region of the tobacco psbA 5' UTR is an important determinant of mRNA stability and translation efficiency. *Molecular Genetics and Genomics*, 269: 340-349.
- Zoubenko, O. V., Allison, L. A., Svab, Z. and Maliga, P. 1994. Efficient targeting of foreign genes into the tobacco plastid genome. *Nucleic Acids Research*, 22: 3819-3824.
- Zubko, M. K., Zubko, E. I., van Zuiden, K., Meyer, P. and Day, A. 2004. Stable transformation of petunia plastids. *Transgenic Research*, 13: 523-530.